

Modely Isingovho antiferomagnetu a spinového ľadu na nanoklastri tvaru Dávidovej hviezdy



Marek Semjan
Školitel: doc. RNDr. Milan Žukovič, PhD.

*Katedra teoretickej fyziky a astrofyziky, Ústav fyzikálnych vied, Prírodovedecká
fakulta UPJŠ*



Motivácia

- ▶ Objav pyrochlórových oxidov $A_2B_2O_7$, napr.: $Ho_2Ti_2O_7$ a $Dy_2Ti_2O_7$
- ▶ Vysokofrustrovaný systém¹
- ▶ Konečné systémy, ktoré sú modelom molekulárnych magnetov, sú málo preskúmané²

¹ZHITOMIRSKY, M. E. (2003). Enhanced magnetocaloric effect in frustrated magnets. In Physical Review B, vol. 67, pp. 104421.

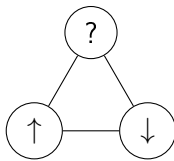
²VIITALA, E., MERIKOSKI, J., MANNINEN, M., TIMONEN, J. (1997). Antiferromagnetic order and frustration in small clusters. In Physical Review B, vol. 55, pp. 11541.

Geometrická frustrácia a Magnetokalorický jav



Geometrická frustrácia - neschopnosť minimalizovať energiu vplyvom geometrického tvaru. Príklady: Isingov antiferomagnet, vodný ľad, spinový ľad (feromagnet)

Magnetokalorický jav (MCE) - zmena teploty vyvolaná aplikovaním vonkajšieho magnetického poľa. Charakterizuje ho ΔS_{izo} a ΔT_{ad}

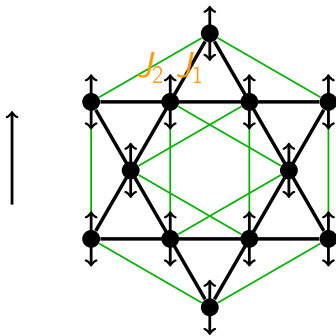




Isingov antiferomagnet

Hamiltonián:

$$\mathcal{H} = -J_1 \sum_{\langle i,j \rangle} \sigma_i \sigma_j - J_2 \sum_{\langle\langle i,j \rangle\rangle} \sigma_i \sigma_j - h \sum_i \sigma_i, \quad \sigma_i = \pm 1/2 \quad (1)$$



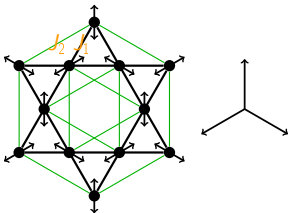
Model spinového ľadu

Hamiltonián:

$$\mathcal{H} = -J_1 \sum_{\langle i,j \rangle} \vec{s}_i \cdot \vec{s}_j - J_2 \sum_{\langle\langle i,j \rangle\rangle} \vec{s}_i \cdot \vec{s}_j - h \sum_i \vec{e}_h \cdot \vec{s}_i \quad (2)$$

Vzťah s modelom Isingovho antiferomagnetu:

$$\mathcal{H} = -J_1 \sum_{\langle i,j \rangle} \vec{s}_i \cdot \vec{s}_j - J_2 \sum_{\langle\langle i,j \rangle\rangle} \vec{s}_i \cdot \vec{s}_j = \frac{J_1}{2} \sum_{\langle i,j \rangle} \sigma_i \sigma_j + \frac{J_2}{2} \sum_{\langle\langle i,j \rangle\rangle} \sigma_i \sigma_j.$$





Metóda exaktného výpočtu

Základný stav ($T=0$):

$$\frac{S_{GS}}{N} = k_B \frac{\ln W(h)}{N}$$

$$m_{GS}(h) = \frac{1}{NW(h)} \sum_{W(h)} \sum_{i=1}^N \sigma_i$$

Konečné teploty ($T>0$):

$$\frac{S(h, T)}{N} = -\frac{T}{N} \ln Z_\beta(h, T)$$

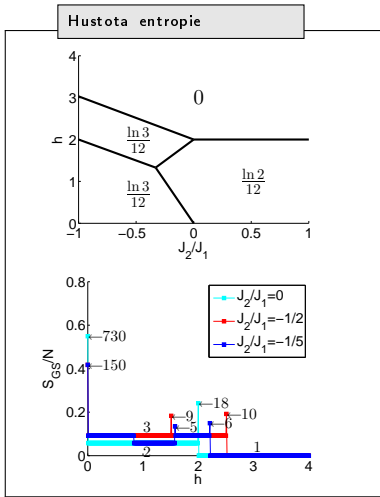
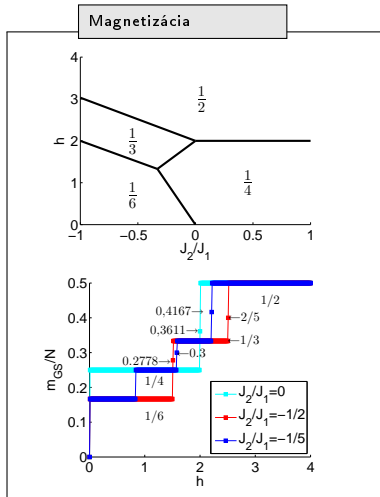
$$Z_\beta = \sum_{\{\sigma\}} e^{-\beta \mathcal{H}(\vec{\sigma})}$$

$$\langle A \rangle_\beta = \frac{\sum_{\{\sigma\}} A(\vec{\sigma}) e^{-\beta \mathcal{H}(\vec{\sigma})}}{Z_\beta}$$

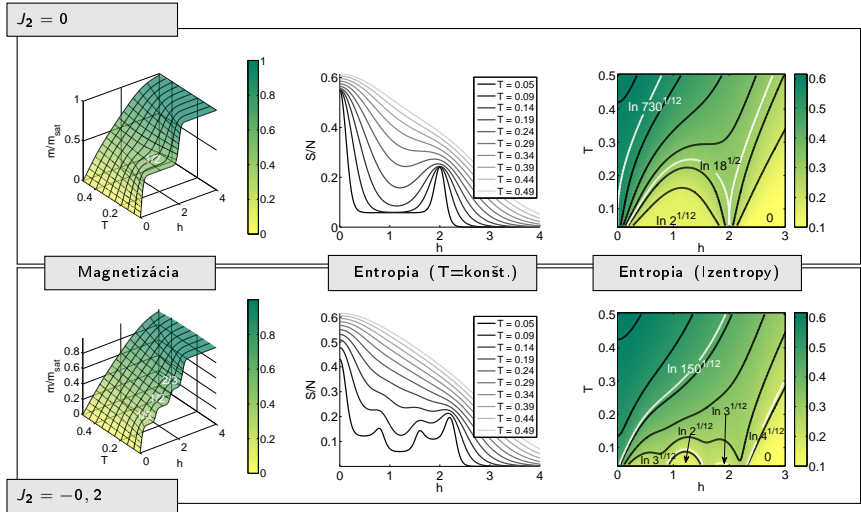
$$m = \langle M \rangle / N$$

$$\beta = 1/(k_B T) \text{ a } \vec{\sigma} = \{\sigma_1, \sigma_2, \dots, \sigma_N\}$$

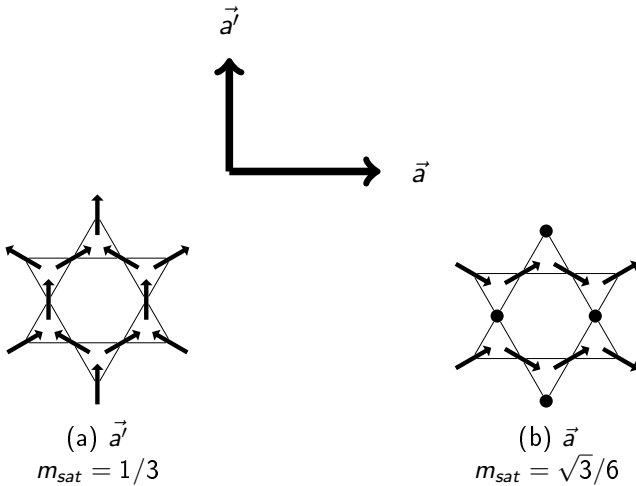
Isingov antiferomagnet - základný stav



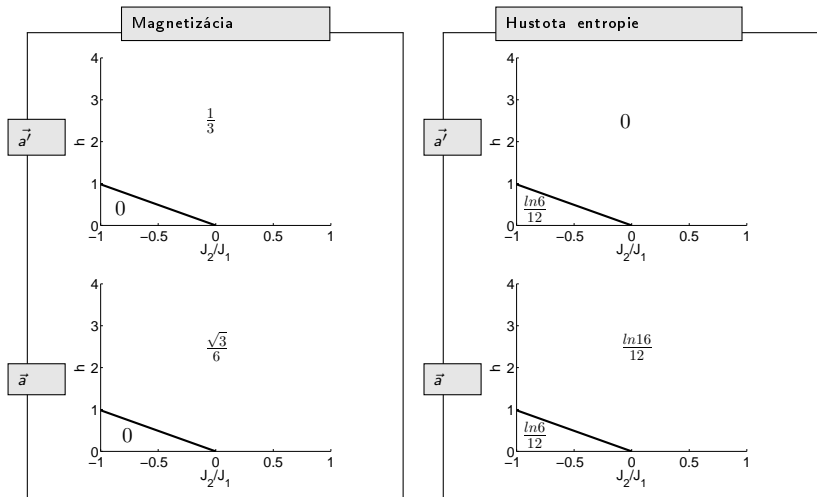
Isingov antiferomagnet - konečné teploty



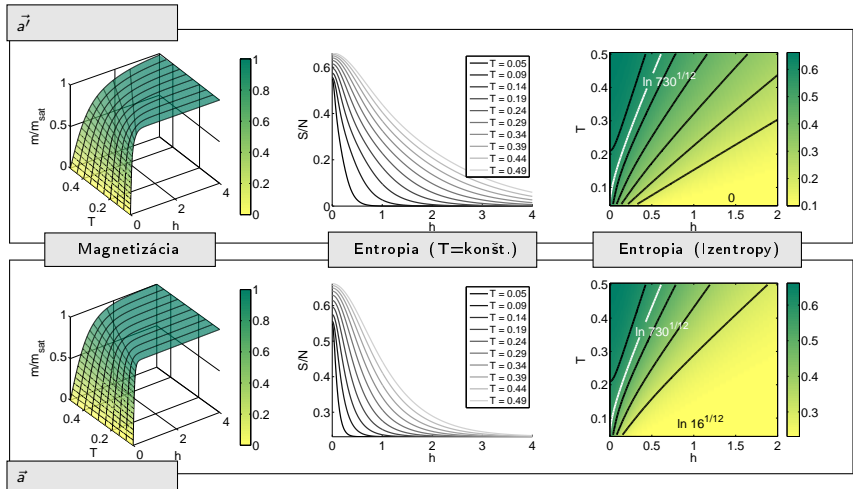
Model spinového l'adu



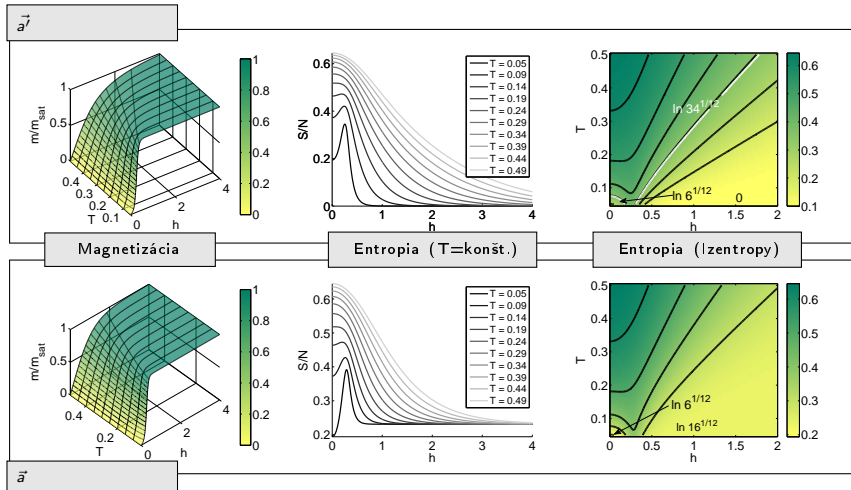
Spinový l'ad - základný stav



Spinový ľad - konečné teploty - Pre $J_2 = 0$



Spinový ľad - konečné teploty - Pre $J_2 = -0,5$



Zhrnutie



- ▶ Malé $J_2 =$ Veľké zmeny v správaní
- ▶ Nemonotónne správanie entropie
- ▶ Veľké zmeny ΔS_{iso} a ΔT_{ad}
- ▶ Priamy aj inverzný magnetokalorický jav
- ▶ Zvýšený MCE pre nízke polia

Ďakujem za pozornosť!